

種数2の3次元多様体についての  
Birman-Hildenの定理の別証

筑波大学

高橋 元男

本稿では、次の定理の証明(i)のみ)を与える。

定理. (i) 任意の、種数2以下の3次元可附号閉多様体 $M$ は、 $S^3$ 上の絡み目 $L$ を分岐線とする2重分岐被覆空間と同相である。

(ii) 特に、 $M$ がホモロジー球面なら、 $L$ は結び目である。

(もっと一般に、 $M$ の1次元ホモロジーグループの位数が奇数であることと、 $L$ が結び目であることとは同値である。)

(iii)  $M$ (の有限表示、例えば Heegaard diagram)から、 $L$ を作るアルゴリズムが存在する。

(iv)  $M$ が $S^3$ と同相であるための必要十分条件は、 $L$ が平凡結び目であることである(従って $M$ が $S^3$ か否かを判定するアルゴリズムが存在する)。

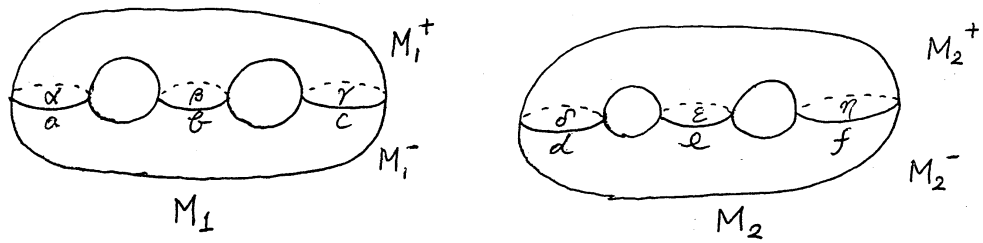
(v) (Waldhausenの意味で)同値な Heegaard diagram から作られる $L$ は同値である。

(vi)  $M$  に対し、 $L$  は必ずしも一意的には定まる。  
 $(M$  の Heegaard 分解に依存する。)

定理. 種数 2 の Heegaard diagram  $D$  から読み取った  
 2 つの関係式の一方が  $\alpha^p \beta^q = 1$  (ないし  $\alpha^p \beta^q \alpha^r \beta^s = 1$ )  
 の場合、この diagram  $D$  を持つ多様体は Poincaré 予想の  
 反例でない。また、2 つの関係式の一方の関係式の長さが 9  
 以下の場合も同様。

(i) の証明。

$M$  を 種数 2 以下の 3 次元可附号閉多様体とする。 $M$  は 種数 2 の Heegaard 分解を持つ。



従って上図の様な 2 つの、種数 2 の solid torus の表面を適当に貼り合せて  $M$  が出来ていると考えてよい。

$M_2$  上の loop  $d, e, f$  はこの貼り合せによって  $M_1$  上の loop  $d', e', f'$  に移る。この際、small isotopy による変換によって、 $a, \beta, c$  と  $d', e', f'$  は高々有限個の点において交わり、これらは、各々の交点において、単純に交叉しているものとしてよい。

また、



の様な变形により、左上図のような部分はないものとしてよい。

今、それぞれ  $a, \beta, c$  を境界とする  $M_1$  の meridian

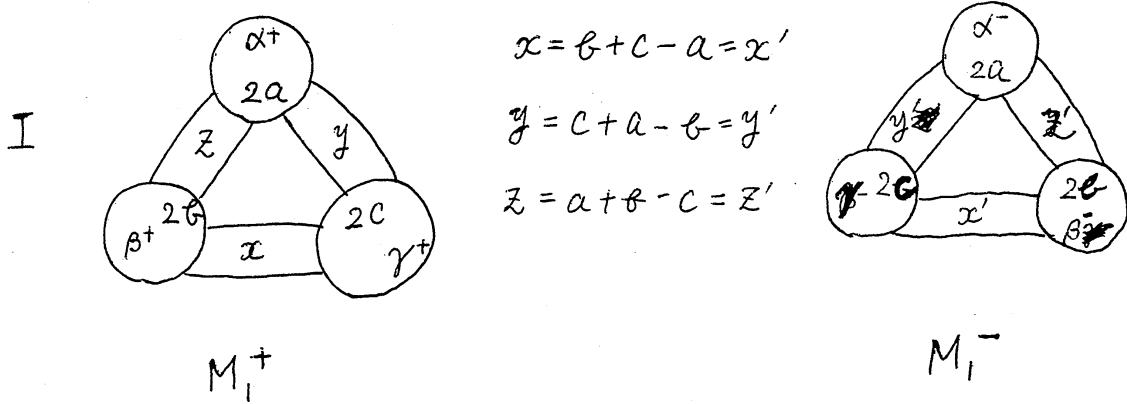
下部

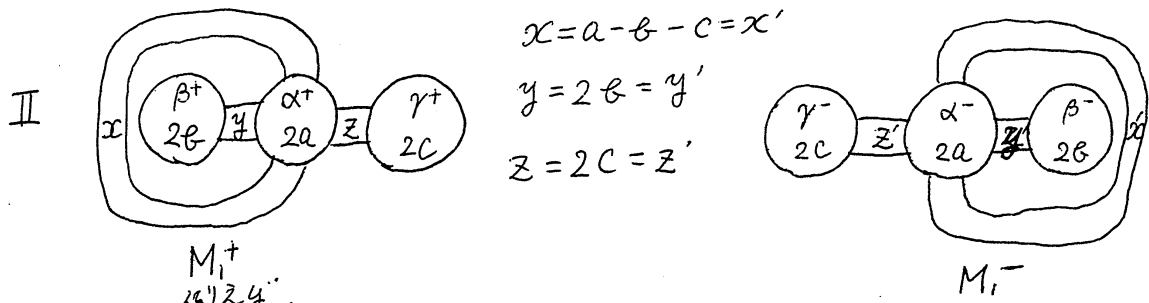
disk  $\alpha, \beta, \gamma$  によって  $M_1$  を 2 つの部分 (上部  $M_1^+$  と  $M_1^-$ ) に分ける。 $M_1^+$  及び  $M_1^-$  は 3-disk である。それらの表面には、 $\alpha, \beta, \gamma$  で切った切口と、それらによって切断された  $d', e', f'$  の部分弧が画かれているものと考える。

ところで、 $M_1$  上で  $a, b, c$  の各々に  $d', e', f'$  が交わる交点の個数はそれぞれ偶数である。それは、交わり方が単純交叉なので、~~例えば~~ 各 loop  $a, b, c$  は交点によって  $M_1^+$  に対応する部分と  $M_1^-$  に対応する部分に交互に分れるからである ( $M_2^+, M_2^-$  は  $M_2$  の上部 下部)。

$a, b, c$  の各々に  $d', e', f'$  の交わる点の数をそれそれぞれ  $2a, 2b, 2c$  とする。

さて、 $M_1^+$  及び  $M_1^-$  の表面に画かれた図形を考えよう。この図形に 2 種類考えられる。次の図の I と II である。





ここで、 $\text{I}'$ の  $M_i^+$  の  $x$  は  $\beta$  と  $\gamma$  を結ぶ孔の数である。

また、例えば  $\alpha$  で切った切口の一方を  $\alpha^+$  と他方を  $\alpha^-$  で表わした。

$x, y, z, x', y', z'$  は上記の様に  $a, b, c$  で表わすことが出で、 $\text{I}'$ の場合も  $\text{II}'$ の場合も  $x = x', y = y', z = z'$  であることがわかる。

注意。  $M_i^+$  が I 型で  $M_i^-$  が II 型というような事は考えなくてよい。何故なら、その場合  $x = b + c - a \geq 0$   $x' = a - b - c \geq 0$  より  $x = x' = 0$  となるてしまうからである。

さて、 $x = x', y = y', z = z'$  であるから、いずれの場合にも  $M_i^+$  上に画かれた图形と  $M_i^-$  上に画かれた图形は同じものと思ってよい。

以下の部分のため、各  $\alpha, \beta, \gamma$  は円であり、交点は円周を等分しているものとする。

合同  
変換  $\sigma: M_i^+ \rightarrow M_i^-$  によって画かれた图形が、 $M_i^+$  上に画かれた图形にうつるものとする。

更に  $M_1^+$  の  $\alpha^+, \beta^+, \gamma^+$  と  $M_1^-$  の  $\alpha^-, \beta^-, \gamma^-$  の対応で  
は合同変換で向きを逆にするものとしてよい。対応

$$\alpha^+ \xrightarrow{\sigma} \alpha^- \xrightarrow{\tau^{-1}} \alpha^+$$

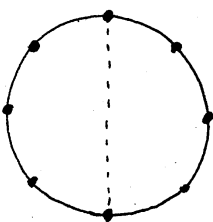
$$\beta^+ \xrightarrow{\sigma} \beta^- \xrightarrow{\tau^{-1}} \beta^+$$

$$\gamma^+ \xrightarrow{\sigma} \gamma^- \xrightarrow{\tau^{-1}} \gamma^+$$

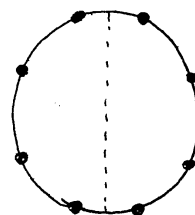
は円  $\alpha^+, \beta^+, \gamma^+$  をそれ自身に移す合同変換であり  
しかも向きを逆にする。従ってそれは、ある対称軸（円の直  
径）に関する対称変換になっている。

この対称軸は必ず円周を等分している交点を結ぶ直径であ  
ることを示そう。

即ち、（交点の数が偶数であるから）可能性としては、下  
図の様な二通りの場合を考えられるが、IIは起らぬこと  
を示すわけである。

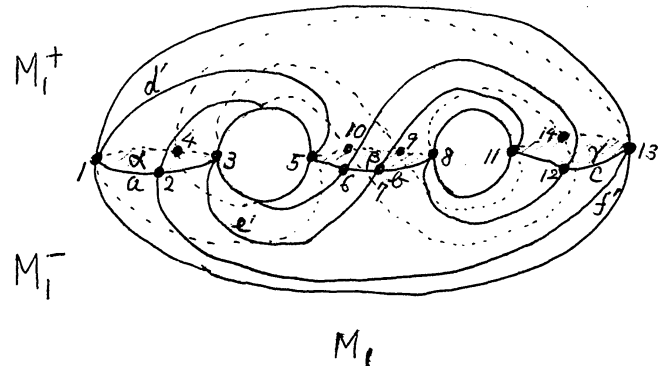


I

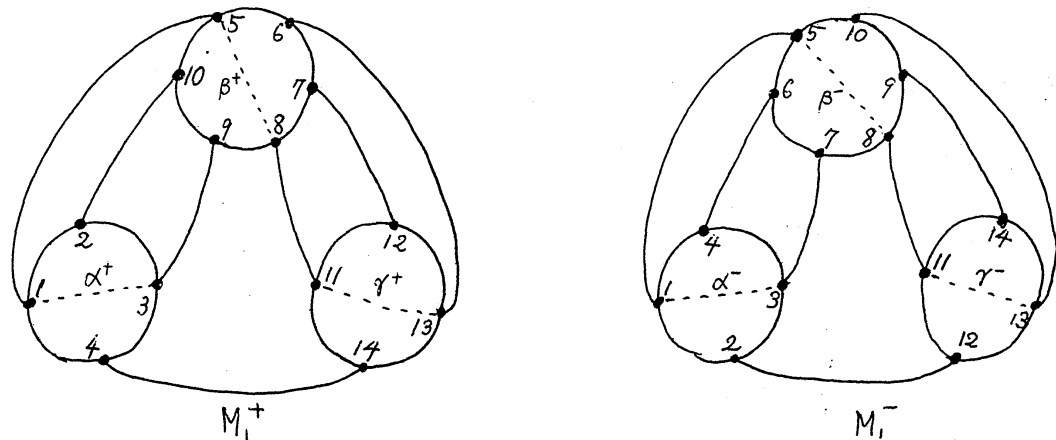


II

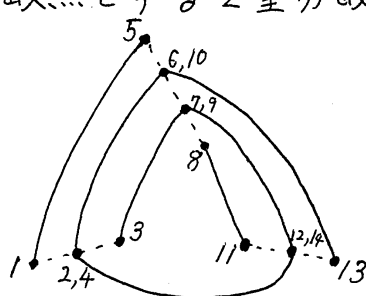
以下、次のような具体例について考えてみる。



$M_1$  上の loop  $d'$ ,  $e'$ ,  $f'$  が図の様であったとする。  
これを  $\alpha$ ,  $\beta$ ,  $\gamma$  で切ると下図の様になる。

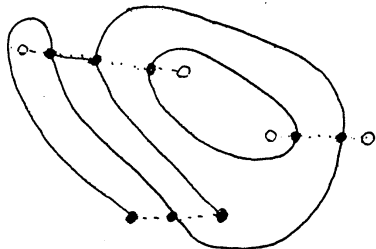


$M_1$  の表面だけ考えると、これは  $S^2$  上の、6点 1, 3, 5, 8, 11, 13 を分岐点とする 2重分岐被覆空間である。(下図参照)



この様に、基底空間  $S^2$  上では、3つの loop は、6つ  
分歧点を結ぶ単純弧になっていることを示そう。そうすれば  
対称軸が交点を結ぶ直径であることが言えることになる。

今、上の事を否定すると、例えば 下図の様に



基底空間  $S^2$  上で、3つの loop は、1つの <sup>loop</sup> と1つの  
単純弧の様になっている。(genus 2 の torus 上で3つの  
loop であるから、可能性は <sup>上の場合とこの場合</sup> 2つしかない。)

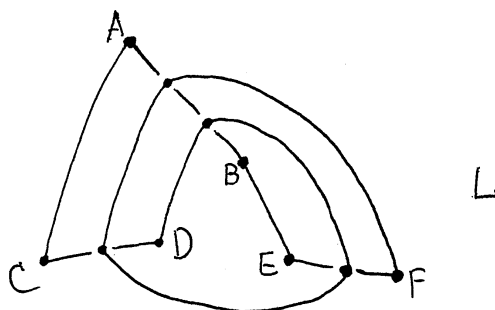
もし、この様になっていたとすると、<sup>loop</sup> は  $S^2$  を2つの  
部分に分けるから genus 2 の torus 上でも、<sup>loop</sup> 上  
の2つの loop によって、2つの部分に分けられていこと  
になる。しかし、最初に戻って、3ページの

図の  $M_2$  の loop  $d, e, f$  のどの2つの loop によって  
も 種数2 の torus は2つの部分に分かれない。

これは矛盾であるので、我々の主張は証明された。

従って、いつでも3ページの一番下の図の様に、<sup>6つ</sup> 分岐点は  
 $\alpha, \beta, \gamma$  で切った時の交点になっている。

さて、7頁の一番下の図から次の様な絡み目（この場合は結び目）を作る。



このようにして作られた絡み目は3橋型、即ち3つの上道と3つの下道からなるものである。

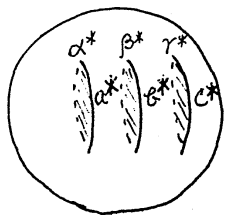
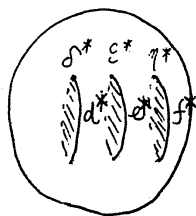
さて、与えられた3次元多様体Mは、こうして作られた絡み目Lを分岐線とする2重分岐被覆空間であることを示す。

このため、3橋型の絡み目を先ず一般的に論ずることにする。3橋型の絡み目 L の図が平面上に上の如く与えられたとすると上道と下道をつなぐ6点 A, B, C, D, E, F のみが、この平面上にあり、上道はこの平面の少し上を図の通りに走り下道は、平面の少し下を走り6点をつなぐような空間曲線を考えると、それがLを実現したものになる。

今の事は3次元ユークリッド空間内で考えたが  $S^3$  内で考えて言いかえると次の様になる。

$S^3$  はその中にある  $S^2$  によつて  $D_+^3$  と  $D_-^3$  の2つの disk に分れるものとし、 $S^2$  上に 6 点 A, B, C, D, E, F

があるものとする。この6点の2つづつを結ぶ<sup>370</sup> 単純弧が<sup>p,q,r</sup>  
 $D_+^3$ 内に画かれていて、これらは  $D_+^3$  の表面  $S^2$  の近くを通  
り互に絡み合っていないとする。もっと正確にいうと、  
 $S^2$  上に 6 点  $A, B, C, D, E, F$  を結ぶ互に交からない 3 つ  
の単純弧が画かれ、その近くを通って  $D_+^3$  内に 3 つの単純弧  
が画かれているということがある。 $D_-^3$  内にも同様に  
3 つの単純弧<sup>s,t,u</sup>があるものとする。これらの合計 6 つの単純弧  
を結んだものが 3 橋型の絡み目<sup>L</sup>といふことになる。

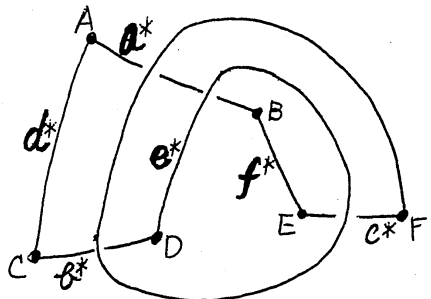
 $D_+^3$  $D_-^3$ 

さて、 $L$ を分岐線とする、 $S^3$ 上の2重分岐被覆空間<sup>M\*</sup>の意味  
は既知とし、 $M^*$ の Heegaard 分解を作る。

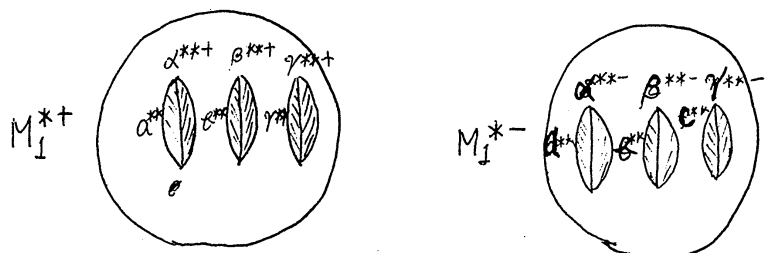
$L$ は、 $p, q, r, s, t, u$ という 6 つの弧より成り、  
 $p, q, r$ は  $D_+^3$  内に、 $s, t, u$ は  $D_-^3$  内にあるから、  
 $M^*$ は、 $D_+^3$  上の  $p, q, r$ を分岐線とする 2 重分岐被  
覆空間<sup>M<sub>1</sub>\*</sup>と  $D_-^3$  上の  $s, t, u$ を分岐線とする 2 重  
分岐被覆空間<sup>M<sub>2</sub>\*</sup>(共に genus 2 の solid torus)の  
表面を適当に貼り合せて出来る。これは  $M^*$  の種数

2の Heegaard 分解を与える。しかも、前ページの図の  $a^*, b^*, c^*$  及び  $d^*, e^*, f^*$  は 分岐被覆空間  $M_1^*$  及び  $M_2^*$  上では、丁度 3 ページの図の  $a, b, c$  及び  $d, e, f$  に相当する meridian loop になる。これを  $a^{**}, b^{**}, c^{**}, d^{**}, e^{**}, f^{**}$  とする。貼り合せによって  $d^{**}, e^{**}, f^{**}$  に対応する  $M_1^*$  上の loop を  $d^{**'}, e^{**'}, f^{**'}$  とする。

例えば、9 ページの図参照で考えると



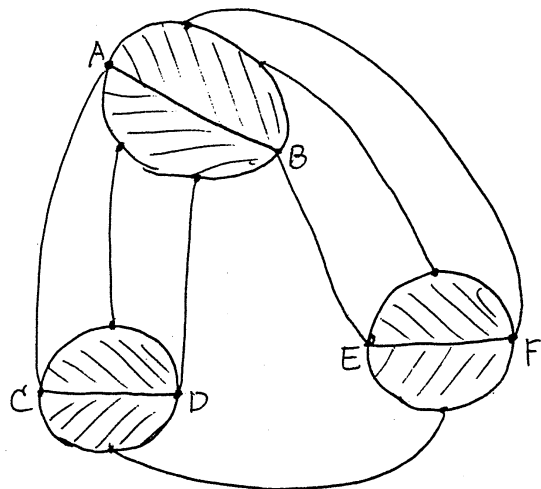
の様になっている。また、前ページの  $\alpha^*, \beta^*, \gamma^*, \delta^*, \varepsilon^*, \eta^*$  は 分岐被覆空間上では meridian disk  $\alpha^{**}, \beta^{**}, \gamma^{**}, \delta^{**}, \varepsilon^{**}, \eta^{**}$  となる。 $M_1^*$  を  $\alpha^{**}, \beta^{**}, \gamma^{**}$  で切ったとする（前ページの図参照）、次のようになる。



(斜線は切口を示す。)

この切口は  $M_1^{*+}$  と  $M_1^{-*}$  とて互に対称に対応して

いる。9ページの終み目の場合は  $M_1^{*+}, M_4^{*-}$  共



の様になる。ところがこれは 7 ページの真中の図と同じである。これは  $M^*$  に最初に与えられた Heegaard diagram と  $M^*$  から上の様にして作られた Heegaard diagram が同一であることを意味し、従って  $M$  と  $M^*$  は同位相である。(証明終)